

Е.В. Золотухина, Т.В. Губанова, И.К. Гаркушин

ТРЕХКОМПОНЕНТНАЯ СИСТЕМА KF-KBr-KVO<sub>3</sub>

(Самарский государственный технический университет)

e-mail: ek\_zolotuhina@mail.ru, lecome@yandex.ru

*Методом дифференциального термического анализа (ДТА) изучены фазовые равновесия в трехкомпонентной системе KF-KBr-KVO<sub>3</sub>, выявлен эвтектический состав (мол. %): KF 21,25 %, KBr 15 %, KVO<sub>3</sub> 63,75 % с температурой плавления 429 °C и удельной энталпиией плавления, равной 184,94 кДж/кг. Разграничены поля кристаллизации фаз.*

**Ключевые слова:** дифференциальный термический анализ, диаграмма состояния, фазовые равновесия, температура плавления

## ВВЕДЕНИЕ

В настоящее время одним из перспективных направлений использования исследований по диаграммам состояния многокомпонентных систем является разработка новых эффективных фазопереходных теплоаккумулирующих материалов и расплавленных электролитов для химических источников тока на основе солевых композиций, которые можно применить в широком интервале температур. Значительное распространение находят системы, содержащие галогениды щелочных металлов, обладающие не только рядом ценных свойств, таких как высокая энталпия плавления и электропроводность, но и позволяющие использовать их в качестве растворителей неорганических веществ, которые не представляется возможным использовать в чистом виде [1, 2].

## МЕТОДЫ ИССЛЕДОВАНИЯ И ИСПОЛЬЗОВАННЫЕ ВЕЩЕСТВА

Трехкомпонентная система исследована методом дифференциального термического анализа (ДТА). В качестве датчика температуры использованы платина–платинородиевые термопары (градуировка ПП-1), свежепрокаленный Al<sub>2</sub>O<sub>3</sub> квалификации «ч.д.а.» – в качестве индифферентного вещества, автоматический потенциометр КСП-4 – для регистрации кривых ДТА. Скорость нагревания / охлаждения образцов составляла 15 град/мин, масса навесок – 0,3 г. Концентрации всех компонентов выражены в мольных процентах, температуры фазовых превращений – в градусах Цельсия. Система исследована в интервале температур 400...900 °C. Исходные реагенты квалификаций «ос.ч.» (KBr), «ч.» (KVO<sub>3</sub>), «ч.д.а.» (KF) были предварительно обезвожены.

## ЭКСПЕРИМЕНТАЛЬНАЯ ЧАСТЬ

Планирование эксперимента в трехкомпонентной системе KF-KBr-KVO<sub>3</sub> проведено в соответствии с правилами проекционно-термографического метода (ПТГМ) [3]. Данные по фазо-

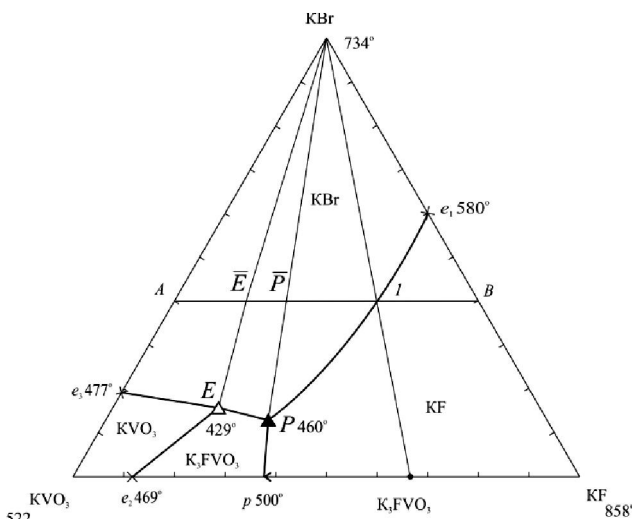


Рис. 1. Концентрационный треугольник системы KF-KBr-KVO<sub>3</sub>  
Fig. 1. Concentration triangle of KF-KBr-KVO<sub>3</sub> system

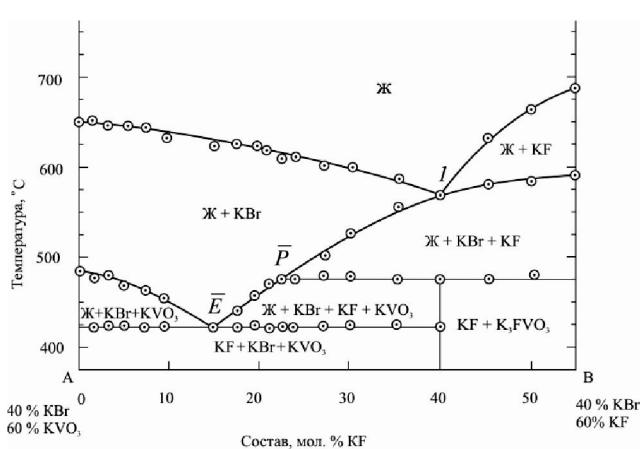


Рис. 2. Диаграмма состояния политеrmического разреза AB  
Fig. 2. The state diagram of AB poly thermal cross-section

ным превращениям индивидуальных веществ взяты из [4]. Все двухкомпонентные системы, входящие в трехкомпонентные, исследованы ранее [5–7]. Две системы KF-KBr [5] и KBr-KVO<sub>3</sub> [6] характеризуются эвтектическим типом плавления, а в системе KF-KVO<sub>3</sub> [7] образуется соединение

инконгруэнтного плавления  $K_3FVO_3$  (D). Авторами уточнены температуры плавления составов, отвечающих точкам нонвариантных равновесий; уточненные данные представлены в таблице и нанесены на модель системы – концентрационный треугольник (рис. 1).

Для экспериментального изучения методом ДТА в системе KF–KBr–KVO<sub>3</sub> выбран и исследован политермический разрез AB (A – 40% KBr, 60% KVO<sub>3</sub>; B – 40% KBr, 60% KF) пересекающий поля кристаллизации бромида и фторида калия.

Из диаграммы состояния политермического разреза AB (рис. 1, 2) определены проекции тройной эвтектической  $\bar{E}$  и перитектической  $\bar{P}$  точек на плоскость разреза AB и соотношение концентраций компонентов KF и KVO<sub>3</sub> в них. Последовательным изучением политермических разрезов  $KBr \rightarrow \bar{E} \rightarrow E$  и  $KBr \rightarrow \bar{P} \rightarrow P$  определены состав и температура плавления эвтектики и перитектики в исследуемой системе (табл. 1). Как видно из табл. 1, понижение температуры плавления тройной эвтектики по сравнению с бинарной стороной KF–KVO<sub>3</sub> составляет 40 °C.

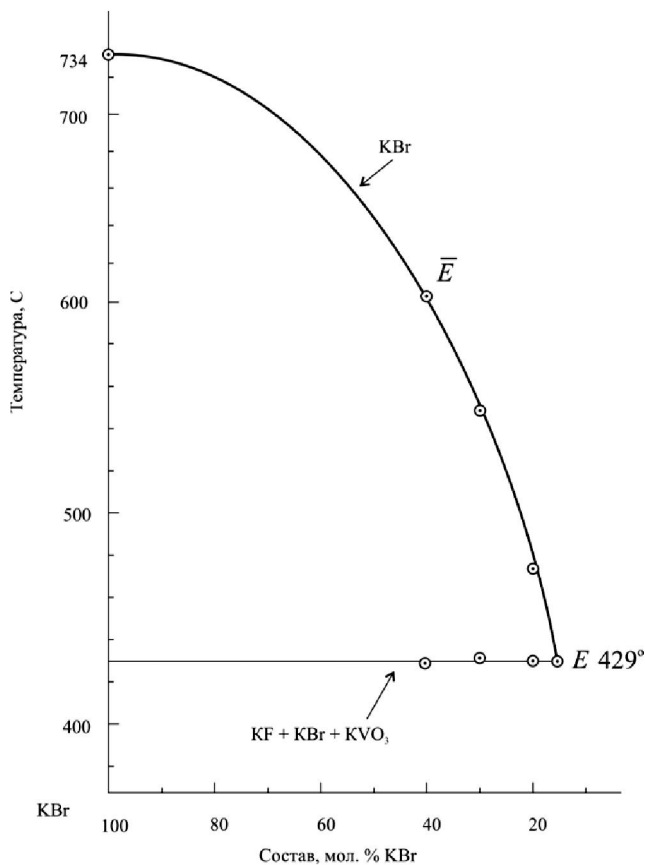


Рис. 3. Диаграмма состояния нонвариантного разреза  $KBr \rightarrow \bar{E} \rightarrow E$

Fig. 3. The state diagram of non-variant cross-section  $KBr \rightarrow \bar{E} \rightarrow E$

Таблица 1

Характеристики эвтектических и перитектических составов в двух- и трехкомпонентной системах  
Table 1. Parameters of eutectic and peritectic compositions in binary and ternary systems

Система	Характер точки	Содержание компонентов, мол. %			$T$ плавления, °C
		KF	KBr	KVO <sub>3</sub>	
KF–KBr[4]	евтектика	40.0	60.0		580
KBr–KVO <sub>3</sub> [5]	евтектика		19.0	81.0	477
KF–KVO <sub>3</sub> [6]	евтектика перитектика	12.0 37.5		88 62.5	469 500
KF–KBr–KVO <sub>3</sub>	евтектика перитектика	21.25 33.37	15.0 11.0	63.75 55.63	429 500

Поверхность тройной системы состоит из четырех полей кристаллизации исходных компонентов – KF, KVO<sub>3</sub>, KBr и соединения D. Максимальное поле кристаллизации имеет бромид калия. Для разных элементов диаграммы системы (рис. 1) приведены фазовые равновесия (табл. 2).

Таблица 2

Фазовые равновесия в системе KF–KBr–KVO<sub>3</sub>  
Table 2. Phase equilibria in system KF–KBr–KVO<sub>3</sub>

Элемент	Фазовое равновесие	Фазовая реакция
Поверхности		
e <sub>3</sub> EPe <sub>1</sub> KBr	дивариантное	ж ⇌ KBr
e <sub>2</sub> EPp	дивариантное	ж ⇌ K <sub>3</sub> FVO <sub>3</sub>
e <sub>2</sub> Ee <sub>3</sub> KVO <sub>3</sub>	дивариантное	ж ⇌ KVO <sub>3</sub>
Линии		
e <sub>1</sub> P	моновариантное	ж ⇌ KBr + KF
pP	моновариантное	ж ⇌ K <sub>3</sub> FVO <sub>3</sub> + KF
EP	моновариантное	ж ⇌ K <sub>3</sub> FVO <sub>3</sub> + KBr
e <sub>2</sub> E	моновариантное	ж ⇌ KVO <sub>3</sub> + K <sub>3</sub> FVO <sub>3</sub>
e <sub>3</sub> E	моновариантное	ж ⇌ KVO <sub>3</sub> + KBr
Точки		
E	нонвариантное	ж ⇌ KBr + KVO <sub>3</sub> + K <sub>3</sub> FVO <sub>3</sub>
P	нонвариантное	ж + KF ⇌ K <sub>3</sub> FVO <sub>3</sub> + KBr

Энтальпия плавления эвтектического состава в трехкомпонентной системе определена по методике [8] и по результатам трех опытов составила 1845,0 кДж/кг.

Полученный эвтектический состав трехкомпонентной системы KF–KBr–KVO<sub>3</sub> можно рекомендовать для использования в качестве теплаккумулирующего фазопереходного материала.

Исследования проводились с использованием оборудования ЦКП «Исследование физико-химических свойств веществ и материалов»

ФГБОУ ВПО «Самарский государственный технический университет».

Работа выполнена в рамках реализации ФЦП «Научные и научно-педагогические кадры инновационной России» на 2009-2013 годы.

#### ЛИТЕРАТУРА

1. Делимарский Ю.К., Барчук Л.П. Прикладная химия ионных расплавов. Киев. Наукова думка. 1988. 192 с.; Delimarskiy Yu.K., Barchuk L.P. Applied chemistry of ionic molten electrolyte. Kiev. Naukova dumka. 1988. 192 p. (in Russian).
2. Малышева Е.И., Гаркушин И.К., Губанова Т.В., Фролов Е.И. // Изв. вузов. Химия и хим. технология. 2011. Т. 54. Вып. 12. С. 26-29; Malysheva E.I., Garkushin I.K., Gubanova T.V., Frolov E.I. // Izv. Vyssh. Uchebn. Zaved. Khim. Khim. Tekhnol. 2011. V. 54. N 12. P. 26-29 (in Russian).
3. Трунин А.С., Космынин А.С. // Деп. в ВИНИТИ 12.04.77 № 1372-77. 68 с.; Trunin A.S., Kosmynin A.S. // Dep. VINITI 12.04.77 N 1372-77. 68 p. (in Russian).
4. Термические константы веществ. Справочник / Под ред. Глушко В.П.. Вып. 10. Ч. 2. М.: ВИНИТИ. 1981; Thermal constants of substances. Handbook. / Ed. by Glushko V.P. V.2. N 10. M.: VINITI. 1981 (in Russian).
5. Волков Н.Н., Дубинская Л.А. // Изв. физ.-хим. науч.-исслед. ин-та при Иркут. гос. ун-те. 1953. Т. 2. Вып. 1. С. 45-47; Volkov N.N., Dubinskaya L.A. // Izv. Phys.-Khim. nauch.-issled. Inst. pri Irk. gos. un-te. 1953. V. 2. N 1. P. 45-47 (in Russian).
6. Справочник по плавкости солевых систем. Т. 1. / Под ред. Воскресенской Н.К. М.-Л.: Изд-во АН СССР. 1961. 588 с.; Handbook on melting the salt systems. V. 1. / Ed. by Voskresenskaya N.K. M.-L.: Izd-vo AN SSSR. 1961. 588 p. (in Russian).
7. Диаграммы плавкости солевых систем. Ч. III / Под ред. Посыпайко В.И., Алексеевой Е.А. М.: Металлургия. 1977. 204 с.; Diagrams of melting the salt systems. Part III. / Ed. By Posypaiyko V.I., Alekseeva E.A. M.: Metallurgiya. 1977. 204 p. (in Russian).
8. Васина Н.А., Грызлова Е.С., Шапошникова С.Г. Теплофизические свойства многокомпонентных солевых систем. М.: Химия. 1984. С. 99; Vasina N.A., Gryzlova E.S., Shaposhnikova S.G. Thermophysical properties of multicomponent salt systems. M.: Khimiya. 1984. P. 99 (in Russian).

Кафедра общей и неорганической химии